

# 雲仙岳火山における地磁気観測\*

京都大学理学部火山研究施設

## 磁気測定

1990年12月および1991年1月に、島原半島でプロトン磁力計による繰り返し磁気測定を実施した。島原半島では、1985年7月と1986年11月に磁気測定が実施されたが、その後、1990年12月まで行われていない。これまで島原半島で行われたプロトン磁力計による地上1.5mでの測定結果を、第1表に示す。今回の測定に際しては、上俵石で臨時に連続観測を行い、各測定点で得られた値は、連続観測プロトンで化成されたのち、諏訪ノ池磁気点に基準化してある。

第1表 雲仙岳火山における磁気測定の結果

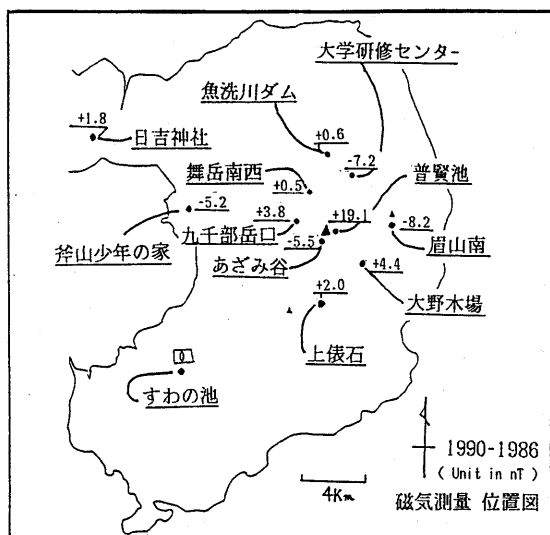
Table.1 Results of geomagnetic surveys at Unzen-dake Volcano

	1985 Jul. 14-16	1986 Nov. 1-2	1990 Dec. 6-7	1991 Jan. 6-8	1990 - 1986	1991 - 1986
大学研修センター	-705.7	-704.6	-711.8	-709.5	-7.2	-4.9
眉山南	1298.2	1298.5	1290.3	1289.9	-8.2	-8.6
漁洗川ダム	-521.4	-522.6	-522.0	-524.1	+0.6	-1.5
大野木場	-264.6	-264.7	-260.3	-262.1	+4.4	+2.6
上俵石	715.7	719.5	721.5	718.6	+2.0	-0.9
舞岳南西	-555.3	-561.2	-560.7	-560.0	+0.5	+1.2
九千部岳口	-900.8	-900.6	-896.8	-898.0	+3.8	+2.6
斧山少年の家	-593.6	-589.5	-594.7	-595.5	-5.2	-6.0
日吉神社	-304.9	-306.7	-304.9	-308.2	+1.8	-1.5
普賢池		-709.3	-690.2	-692.9	+19.1	+16.4
あざみ谷		-1329.4	-1334.9	-1335.9	-5.5	-6.5
諏訪ノ池		0.0	0.0	0.0	---	---

(Unit in nT)

\* Received 20 Mar., 1991

測定点および1990年12月と1986年11月の測定値の差を、第1図に示す。1990年12月の測定では、大学研修センター、眉山南、斧山少年の家、普賢池およびあざみ谷で磁気異常が認められた。このことを確認するために、1991年1月に再測定を行っている。



第1図 磁気点の位置および地磁気変化（1990年—1986年）

Fig. 1 Location map of geomagnetic survey points and geomagnetic changes (1990-1986).

普賢池のプラス異常とあざみ谷のマイナス異常は、雲仙火山の磁化の消失をうかがわせるが、測定点が少ないので、強くは主張できない。普賢池の磁気異常はきわめて大きく、注目に値する。しかし、注意すべきは、普賢池磁気点の250m南に位置する地獄跡火口が爆裂したので、その影響を受けている可能性がある。このことを調べるために、1991年1月、地獄跡火口の噴出物の調査を行った。その概要を、第2図に示している。噴出物の量は約4,000立方メートルと推定され、普賢池の磁気異常は爆裂に伴う磁化の消失とは考えられない。

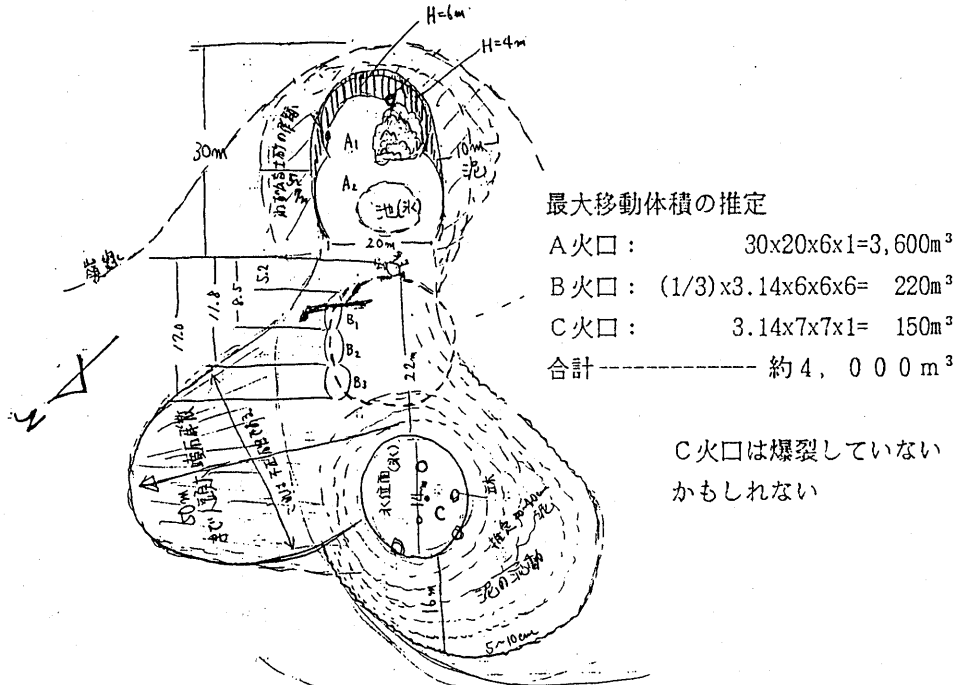
なお、地上1.5mでの磁気測定は精度が低くなるので、1991年1月には、地上2.3mの高さをも併せて測定している。

### 地磁気連続観測

九十九島噴気孔の南55mと普賢池の北50mの2地点にプロトン磁力計を設置し(第3図)、1991年1月7日から毎分計測による観測を開始した。1月19日以降は、5分計測としている。

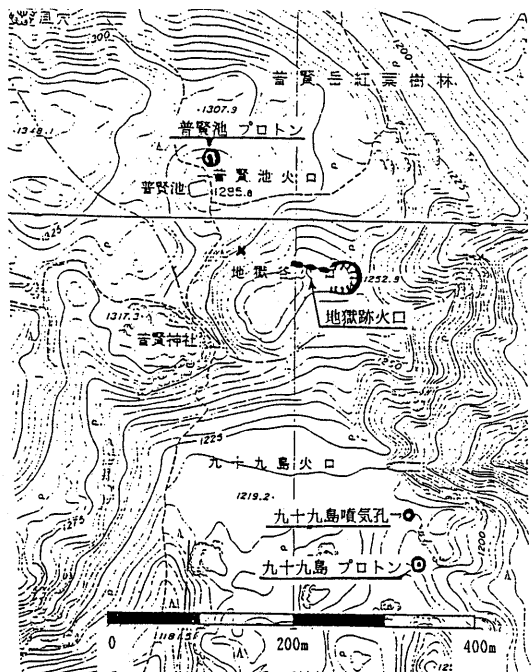
1月19日までの結果を、第4図に示す。化成には、67km東方に位置する火山研究施設構内のプロトン磁力計値(0h00mから3h59mまで)が用いられた。その結果、普賢池で約+3nT(ナノテスラー)、九十九島で約+1nTの地磁気全磁力の変化が認められた。

普賢池の磁場変化は、繰り返し測定の結果(1986年と1991年の間で約+19nT)とあわせて、今期の火山活動に伴うものと考えられる。



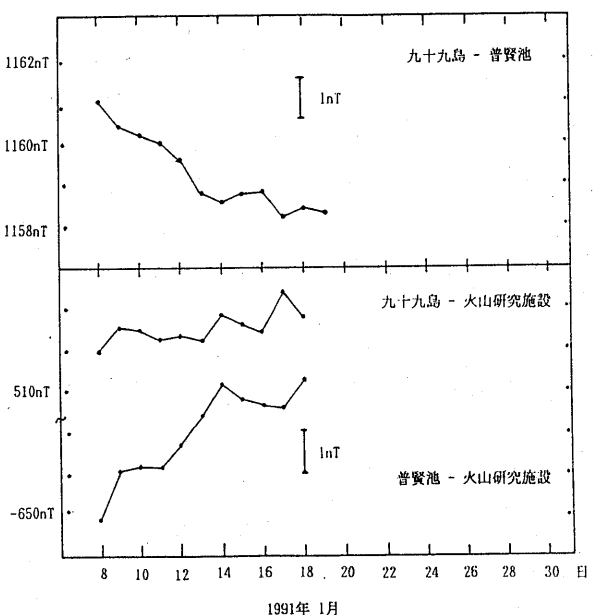
第2図 地獄跡火口の噴出物分布

Fig. 2 Distribution of ejecta at Jigokuato crater.



第3図 プロトン磁力計による連続観測点の位置

Fig. 3 Location of proton magnetometers.



第4図 プロトン磁力計による連続観測

Fig. 4 Geomagnetic changes obtained by continuous observations with proton magnetometers.